

ВЛИЯНИЕ АЛГОРИТМА СТАТИСТИЧЕСКОЙ ОБРАБОТКИ  
ЭКСПЕРИМЕНТАЛЬНЫХ ДАННЫХ И ПАРАМЕТРОВ  
УПРАВЛЯЮЩЕЙ СИСТЕМЫ НА ХАРАКТЕРИСТИКИ ЭЛЕКТРОННО-ФОТОННОЙ  
И МИОНОННОЙ КОМПОНЕНТЫ ШАЛ

Н. М. Никольская, И.Н. Стаменов

УДК 537.591

Методом симуляции ливней исследовано влияние управляющей системы, геометрии расположения детекторов Тянь-Шаньской комплексной установки и применяемого алгоритма обработки данных на характеристики электронно-фотонной и мионной компоненты в ливнях величиной  $10^5 < N_e < 10^7$ .

Геометрия расположения детекторов электронно-фотонной и мионной компоненты, их основные параметры, а также логика управляющей системы, отбирающей ливни на Тянь-Шаньской комплексной установке ШАЛ, достаточно подробно описаны в работах /1,2/. Для этой конкретной детекторной конфигурации разыгрыаны "искусственные" ливни в следующих основных предположениях:

- а) Пространственное распределение потока заряженных частиц в ливне аксиально-симметрично /3/.
- б) Пространственное распределение потока электронов в ливне описывается функцией Нишимура и Камата в аппроксимации Грейзена /4/.

В дальнейшем координаты места попадания оси выбирались разыгрышем с учетом условия, что плотность попадания осей на единицу площади равномерно распределена в круге радиусом  $\sim 50$  м вокруг геометрического центра установки. Угловые координаты оси  $(\Theta, \Phi)$  выбирались также разыгрышем с учетом того, что зенитное угловое распределение на уровне гор описывается функцией  $w(\Theta) \sim \cos^5 \Theta$ , а азимутальное  $w(\Phi) = \text{Const}$ . Заданная величина ливня  $N_{e3}$  выбиралась с учетом спектра ливней по числу частиц, который представляется степенной функцией  $F(N_{e3}) \sim N_{e3}^{-2.1}$ . Рассматривались в

основном два варианта формы этого спектра: а)  $\alpha = 1,5$  для  $10^5 < N_3 < 10^7$ ; б)  $\alpha_1 = 1,5$  для  $10^5 < N < 10^6$  и  $\alpha_2 = 2,0$  для  $10^6 < N < 10^7$ .

Величина среднего значения параметра возраста ливня  $\bar{s}$  могла принимать значения: 0,8; 1,0; 1,2; 1,4. При этом предполагалось, что распределение параметра возраста  $s$  описывается достаточно хорошо распределением Гаусса с  $\sigma_s = 0,15$ . В некоторых вариантах принималось и  $\sigma_s = 0,30$  с целью исследования чувствительности остальных параметров к изменению этой величины.

После выбора основных параметров ливня: координат оси ( $X_3$ ,  $y_3$ ,  $\theta, \varphi$ ), возраста  $s_3$  и числа частиц  $N_{e3}$  рассчитывались средние ожидаемые плотности потока электронов в каждом из детекторов установки по формуле NKG:

$$\bar{\rho}_{eis} = \left[ \frac{N_{e3}}{r_m^3} \right] C(s) X_1^{s_3 - 2} (X_1 + 1)^{s_3 - 4,5}; \text{ где } X_1 = \frac{r_1}{r_m}.$$

Далее принималось, что регистрируемые детектором числа частиц  $\bar{n}_i = \rho_i s_i$  распределены вокруг ожидаемого среднего значения  $\bar{n}_{is} = \bar{\rho}_{is} s_i$  по закону Гаусса. При этом зависимость  $\sigma(\bar{n}_i) = \sqrt{\bar{n}_i} + 0,15\bar{n}_i$  является результатом экспериментального изучения особенностей применяемых детекторов.

Из симулированных таким образом ливней отбирались те, которые удовлетворяют условиям: управляющей системы, после чего они записывались на стандартную магнитную ленту. Впоследствии эти искусственные ливни подвергались обработке с помощью стандартного алгоритма статистической обработки экспериментальных данных /2/, в результате чего получался аналогичный набор "полученных" характеристик ливней ( $x_i$ ,  $y_i$ ,  $\theta$ ,  $\varphi$ ,  $\rho_i$ ,  $N_{ei}$ ,  $s_i$ ).

Для ливней, удовлетворивших мастерным условиям и критериям алгоритма обработки, рассчитывались "ожидаемые" средние плотности потока мюонов  $\bar{\rho}_{\mu i}$  с  $E_\mu > 5$  Гэв в каждой  $i$ -той детекторной группе подземного мюонного детектора:  $\bar{\rho}_{\mu i} = \Phi_\mu(r_m) \Phi(N_\mu)$ , где  $\Phi(N_\mu) = K_\mu N_\mu^{0,84} W(N_\mu)$ . При этом функция  $W(N_\mu)$  описывает предполагаемые флуктуации числа мюонов в ливне с заданным числом частиц. "Регистрируемые"  $i$ -тым детектором числа мюонов  $\bar{n}_{\mu i}$  распределены вокруг ожидаемого среднего по закону Пуассона. Таким образом, после рассмотрения этой информации алгоритмом обработки экспериментальных данных для каждого ливня организуется полный набор

заданных и полученных параметров мюонной и электронной компонент ливня ( $X, Y, \theta, \varphi, N_e, N_\mu, S, \rho_{ei}, \rho_{\mu i}$ ). Логика сравнения "заданных" и "полученных" характеристик ливней иллюстрируется рис. I.

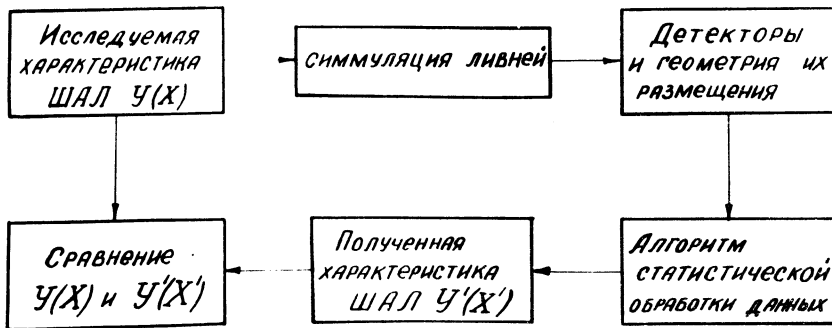


Рис. I. Логическая схема сравнения "заданных" и "полученных" характеристик ливня

В результате исследования /5/ влияния применяемого алгоритма обработки данных и параметров управляющей системы на характеристики электронно-фотонной и мюонной компонент ливней, регистрируемых на Тянь-Шаньской комплексной установке, установлено:

1. Управляющая система отбирает с практически 100% эффективностью ливни с осью в круге радиусом  $R \leq 5$  м, возрастным параметром  $0,6 < S < 1,3$  и величиной  $N_e \geq 10^5$ . В круге радиусом 10 м ливни с числом частиц  $N_e > 1,8 \cdot 10^5$  и  $\bar{S} = 0,8 - 1,0$  регистрируются с вероятностью  $\varepsilon = 98\%$ , при  $\bar{S} = 1,2 - \text{с}$   $\varepsilon = 93\%$ , а старые ливни с  $\bar{S} \geq 1,4$  несколько дискриминируются установкой ( $\varepsilon \approx 80\%$ ).

2. Детекторная система ливневой части Тянь-Шаньской комплексной установки и применяемый алгоритм обработки статистического материала дают возможность достаточно хорошо определить основные параметры ливня.

а) Точность определения координат оси ливня слабо зависит от величины возрастного параметра, если  $\bar{S} \leq 1,2$ , при этом средняя абсолютная ошибка  $\Delta g$  не более 1,2 м в области  $|X, Y| \leq 7$  м и уменьшается до 0,5 м с ростом числа частиц.

б) Точность определения возрастного параметра в индивидуальном ливне с осью в области  $|X, Y| \leq 7$  м и  $\bar{S} < 1,4$  не хуже  $\Delta S =$

= 0,1. В результате применяемого алгоритма происходит "старение" малых ливней на  $\Delta \bar{s} \approx 0,03$ , а в больших ливнях ( $N_e > 10^6$ ) систематических искажений  $\bar{s}$  практически нет ( $\Delta \bar{s} \leq 0,01$ ).

в) Средняя относительная точность в определении числа частиц ( $\Delta N_e/N_e$ ) в ливнях с  $\bar{s} \leq 1,0$  и  $|x, y| \leq 7$  м не хуже 10% и с ростом мощности ливня улучшается. При этом происходит систематическое завышение числа частиц в ливне величиной  $10^5 < N_e < 10^6$  при  $\bar{s} = 0,8$  на  $\Delta N_e/N_e = (7 + 10)\%$ , а при  $\bar{s} = 1,2$  на  $\Delta N_e/N_e = (10 + 15)\%$ .

3. Регистрируемое пространственное распределение потока электронов не искажается алгоритмом обработки данных и управляемой системой в интервале  $N_e = 1,78 \cdot 10^5 + 10^7$  и  $\bar{s} \leq 1,2$ . Максимальное систематическое искажение ( $\Delta \rho_e/\rho_{e3}$ ) в интервале  $10 < r < 100$  м не более 10%.

а) Применяемые в некоторых работах /6,7/ способы усреднения плотностей потока электронов в заданном интервале расстояний и разбраковка ливней по величине могли бы приводить к результату фиктивному старению ливней на  $\Delta s \sim 0,30$ .

4. Систематические искажения плотности потока мюонов на заданном расстоянии от оси не превышают величины  $\Delta \rho_\mu/\rho_\mu = 0,10$  в интервале 6 м  $< r < 80$  м и  $1,78 \cdot 10^5 < N_e < 5,6 \cdot 10^6$ .

5. Зависимость числа мюонов  $N_\mu$  от величины ливня  $N_e$  не искажается в диапазоне  $1,3 \cdot 10^5 < N_e < 10^7$ .

6. Разработан алгоритм "варируемых распределений" /5/, позволяющий провести детальное прямое сравнение любого теоретически предсказываемого распределения  $w(N_\mu)$ ,  $N_e = \text{Const}$  с соответствующим экспериментально полученным  $w(Y_\mu)$ ,  $N_e = \text{Const}$ .

В заключение авторам хотелось бы поблагодарить проф. С. И. Никольского за внимание и интерес к работе, а Н. М. Нестерову, Е. И. Тукиша и В. С. Асейкина за ряд критических замечаний и пожеланий.

Поступила в редакцию  
24 сентября 1975 г.

## Л и т е р а т у р а

1. Т. П. Аминева, В. С. Асеикин, Ю. Н. Вавилов и др. Труды ФИАН, 46, 157 (1970).
2. V. S. Aseikin, V. P. Bobova, A. G. Duboviy et al. PICCR, München EA 1-13, 1975.
3. Г. Т. Зацепин. Диссертация. ФИАН, 1953 г.
4. К. Грейзен. Физика космических лучей, т.3, ИЛ, Москва, 1958 г., стр. 7.
5. Н. М. Никольская, Й. Н. Стаменов. Препринт ФИАН № I24, № I25, 1975 г.
6. В. И. Соловьева. Диссертация. ФИАН, 1964 г.
7. Е. И. Тукиш. Диссертация. ФИАН, 1963 г.